

© 1991

## ФАЗОВЫЕ ПЕРЕХОДЫ В $\text{Ni}_2\text{MnGa}$ ПРИ СЖАТИИ

*B. B. Кокорин, B. B. Мартынов, B. A. Черненко*

Обнаружена последовательность фазовых переходов, реализующихся при одностороннем сжатии монокристаллов  $\text{Ni}_2\text{MnGa}$  вдоль направления  $\langle 110 \rangle$ .

Соединение  $\text{Ni}_2\text{MnGa}$  относится к группе так называемых сплавов Гейслера. При охлаждении в нем сначала устанавливается ферромагнитный порядок, а затем происходит структурный фазовый переход высокотемпературной  $\beta_1$  фазы с кубической симметрией ( $a=5.824 \text{ \AA}$ ) в  $\beta'$  фазу с решеткой тетрагональной симметрии [1], при этом исходная ячейка приобретает размеры ( $a=b=5.90 \text{ \AA}$ ,  $c=5.54 \text{ \AA}$ ). Деформации решетки вдоль осей  $a$ ,  $b$  и  $c$  составляют  $\epsilon_1=\epsilon_2=0.013$ ,  $\epsilon_3=-0.049$  соответственно. Структура низкотемпературной фазы представляет собой кристаллическую решетку, модулированную статической волнной смещений [2]. Волновой вектор этой волны параллелен одному из двух направлений  $[110]$ ,  $[1\bar{1}0]$ , вектор поляризации  $e$  перпендикулярен  $k$  и совпадает с направлением типа  $\langle 110 \rangle$ ,  $|k|=2\pi/5d_{220}$ , где  $d_{220}$  — расстояние между соседними плоскостями типа  $\{220\}$ , т. е. в низкотемпературной (пятислойной) фазе плоскости  $\{110\}$  смещены из регулярных положений в направлении типа  $\langle 110 \rangle$ . Электронномикроскопическое исследование [2] показало, что и решетка высокотемпературной фазы неустойчива относительно сдвигов плоскостей  $\{110\}$  вдоль направлений типа  $\langle 110 \rangle$ . В этом случае можно ожидать, что будут существовать значения таких сдвиговых деформаций, которые соответствуют новым метастабильным состояниям, т. е. возможны фазы с кристаллической решеткой, отличающейся от мартенситной фазы, возникающей при охлаждении. Существование такой модуляции говорит о возможности плоскостей типа  $\{110\}$  занимать различные позиции относительно друг друга. Поиск новых фаз и является целью настоящей работы. Основным методом достижения этой цели было выбрано изучение структуры соединения  $\text{Ni}_2\text{MnGa}$ , подвергнутого воздействию сдвиговых механических напряжений. Величина этих напряжений определялась сжимающим усилием при одноосном нагружении.

Исследование проводили на монокристаллических образцах сплава  $\text{Ni}_2\text{MnGa}$ , которые имели температуру структурного перехода при охлаждении 278 К. Характерные графики деформации  $\sigma$  ( $\epsilon$ ) для различных температур нагружения приведены на рис. 1, a, б. Ось сжатия совпадала с направлением  $\langle 110 \rangle$ .

Если температура деформирования соответствует интервалу стабильности высокотемпературной фазы, то зависимость деформации  $\epsilon$  от приложенного напряжения  $\sigma$  описывается кривыми рис. 1, a.

Как в процессе нагружения, так и разгружения на кривых обнаруживаются участки с меньшим наклоном. При достижении значения  $\sigma$ , соответствующего такому участку, начинается структурное превращение, что подтверждалось рентгенографированием сжатых образцов.

Первой фазе, возникающей в процессе нагружения, соответствует орторомбическая кристаллическая решетка ( $\beta'_1$ ) с параметрами  $a=6.12 \text{ \AA}$ ,

$\sigma = 5.78 \text{ \AA}$ ,  $c = 5.54 \text{ \AA}$ . Деформации решетки при  $\beta_1 \rightarrow \beta_1''$  превращении —  $\epsilon_1 = 0.051$ ,  $\epsilon_2 = -0.007$ ,  $\epsilon_3 = -0.049$ . Эта новая решетка модулирована по перечной статической волной смещений с  $|k| = 2\pi/7 d_{220}$  (семислойная фаза). Направления  $k$  и  $e$  совпадают с направлениями волнового вектора и вектора поляризации фазы с пятислойной модуляцией, образующейся при охлаждении. Наличие семислойной модуляции подтверждается появлением на рентгенограммах соответствующей системы дополнительных отражений. Дальнейшее увеличение приложенного напряжения инициирует второй фазовый переход (рис. 1, а), приводящий к образованию  $\beta_1''$  фазы, которая обладает решеткой с тетрагональной симметрией  $a = 6.44 \text{ \AA}$ ,  $b = 5.52 \text{ \AA}$ ,  $c = 5.52 \text{ \AA}$ , дополнительных отражений, свидетельствующих о наличии модуляции волнами смещений, не обнаружено. Деформация решетки при  $\beta_1'' \rightarrow \beta_1'$  фазовом переходе:  $\epsilon_1 = 0.053$ ,  $\epsilon_2 = -0.045$ ,  $\epsilon_3 = 0.004$ .

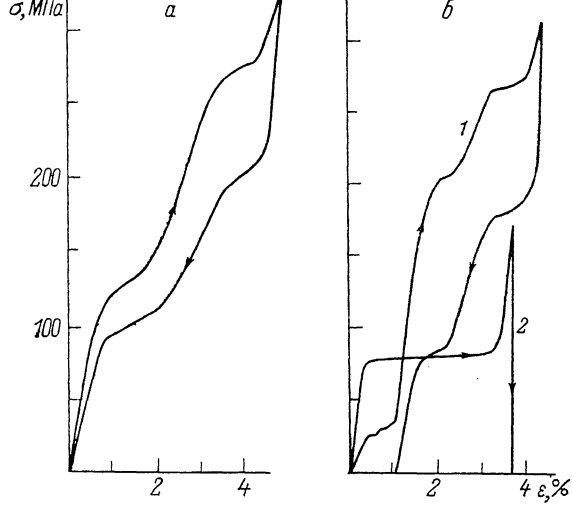


Рис. 1. Диаграммы деформирования при постоянных температурах в процессе сжатия монокристалла  $\text{Ni}_2\text{MnGa}$  вдоль направления параллельного оси [011].  
а — 290 К; б — 280 К — (1) и 77 К — (2).

При разгрузении наблюдается обратная последовательность фазовых переходов и после достижения  $\sigma = 0$  восстанавливается исходная высокотемпературная фаза.

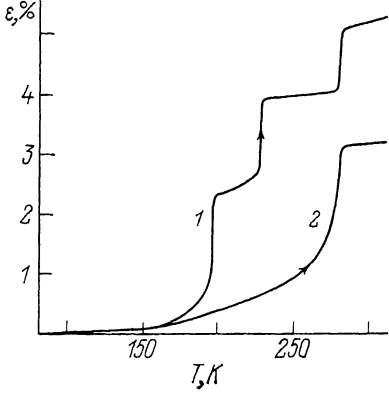
На рис. 1, б (кривая 1) помещена диаграмма деформации при  $T = 280 \text{ K}$ . В этом случае при нагружении вначале образуется фаза, совпадающая по структуре со структурой фазы охлаждения ненагруженных образцов. При температуре ниже 278 К сжатию подвергается тетрагональная пятислойная фаза ( $\beta_1'$ ), формирующаяся в результате охлаждения. Образующаяся в ходе нагружения  $\beta_1''$  фаза сохраняется и после разгрузки при деформации ниже 242 К, а после деформации при 77 К сохраняется и  $\beta_1'$  фаза (рис. 1, б, кривая 2).

Для определения температурных интервалов стабильности фаз, индуцированных сжатием, был проделан следующий опыт. Монокристаллический образец, ось которого совпадала с направлением  $\langle 011 \rangle$  решетки исходной высокотемпературной фазы, после охлаждения до  $T = 77 \text{ K}$  был сжат ( $\sigma \approx 25 \text{ кг}/\text{мм}^2$ ). После этого без отогрева он был помещен в дилатометр и в нем нагрет до комнатной температуры. Изменение длины этого образца при нагреве показано на рис. 2, кривая 1. Удлинение образца при нагреве происходит неравномерно. Каждому горизонтальному участку на кривой 1 рис. 2 отвечает область существования одной из фаз. Фазовые переходы происходят при температурах, которым соответствуют верти-

кальные участки (рис. 2). В процессе нагрева полностью восстанавливаются исходные (перед сжатием) размеры образца.

При ориентации оси сжатия вдоль [001] восстановление исходной длины после деформации при 77 К происходит при одном значении температуры, соответствующем переходу  $\beta_1 \rightarrow \beta_1'$  (рис. 2, кривая 2). (В сжатом при  $T \approx 293$  К (ось сжатия [001]) состоянии наблюдалась только одна  $\beta_1'$ -фаза, что определено с помощью рентгеновской съемки [2]).

Отмеченная ориентационная зависимость фазового состава после сжатия может быть объяснена исходя из следующих соображений. Работа,



А, затраченная на деформацию образца за счет фазовых переходов, должна быть положительной величиной ( $A > 0$ ). Поэтому, учитывая, что в координатных осях, совпадающих с направлениями  $\langle 100 \rangle$  кристаллической решетки исходной фазы, при ориентации оси сжатия вдоль направления

Рис. 2. Изменение длины образца в процессе нагрева.

Предварительно монокристалл был сжат при  $T = 77$  К вдоль [011] — (1) и [001] — (2).

[011] работа может быть записана в виде  $A = 1/2 \sigma (\epsilon_2 + \epsilon_3)$ , где  $\sigma < 0$  — величина внешнего сжимающего напряжения. Фазовые переходы, индуцированные сжатием, могут происходить только в случае, когда  $\epsilon_2 + \epsilon_3 < 0$ . Легко убедиться, что такое условие выполняется в последовательности переходов  $\beta_1 \rightarrow \beta_1' \rightarrow \beta_1'' \rightarrow \beta_1'''$ .

При ориентации оси сжатия вдоль направления [001] работа, затраченная на образование новой фазы  $A = \varepsilon \sigma$ , где  $\varepsilon$  — относительное изменение параметра решетки вдоль оси сжатия. Можно видеть, что  $A > 0$  только для перехода  $\beta_1 \rightarrow \beta_1'$ . Переходы из  $\beta_1'$  при сохранении ориентации оси сжатия вдоль [001] не сопровождаются заметным уменьшением параметров решетки вдоль оси сжатия.

Таким образом, соединение Ni<sub>2</sub>MnGa при сжатии испытывает ряд фазовых структурных переходов. Фазы  $\beta_1''$  и  $\beta_1'''$  реализуются только под нагрузкой. Индуцированные сжатием фазы стабильны при атмосферном давлении в своих интервалах температур.

#### Список литературы

- [1] Webster P. J., Ziebeck K. R. A., Town S. L., Peak M. S. Magnetic order and phase transformation in Ni<sub>2</sub>MnGa. Phil. Mag. B. 1984. 49. N 3. P. 295—310.
- [2] Витенко И. Н., Кокорин В. В., Мартынов В. В., Черненко В. А. Мартенситные превращения в сплаве Гейслера — Ni<sub>2</sub>MnGa // Препринт ИМФ 35.89. Киев, 1989. 22 с.

Институт металлофизики  
Кiev

Поступило в Редакцию  
17 июля 1990 г.  
В окончательной редакции  
14 ноября 1990 г.